

Starkniederschlagshöhen und -spenden gemäß KOSTRA-DWD-2020

Rasterfeld 150153

(Zeile 150, Spalte 153)

Regenspende und Bemessungsniederschlagswerte in Abhängigkeit von Wiederkehrzeit T und Dauerstufe D

| Dauerstufe D | | Wiederkehrzeit T | | | | | | | | | | | | | | | | | |
|--------------|-----|------------------|------------|------|------------|------|------------|------|------------|------|------------|-------|------------|-------|------------|-------|------------|-------|------------|
| | | 1 a | | 2 a | | 3 a | | 5 a | | 10 a | | 20 a | | 30 a | | 50 a | | 100 a | |
| min | Std | mm | l / (s ha) | mm | l / (s ha) | mm | l / (s ha) | mm | l / (s ha) | mm | l / (s ha) | mm | l / (s ha) | mm | l / (s ha) | mm | l / (s ha) | mm | l / (s ha) |
| 5 | | 7,2 | 240,0 | 8,9 | 296,7 | 10,0 | 333,3 | 11,4 | 380,0 | 13,5 | 450,0 | 15,6 | 520,0 | 17,0 | 566,7 | 18,8 | 626,7 | 21,5 | 716,7 |
| 10 | | 9,4 | 156,7 | 11,7 | 195,0 | 13,1 | 218,3 | 15,0 | 250,0 | 17,7 | 295,0 | 20,4 | 340,0 | 22,2 | 370,0 | 24,6 | 410,0 | 28,0 | 466,7 |
| 15 | | 10,7 | 118,9 | 13,3 | 147,8 | 15,0 | 166,7 | 17,1 | 190,0 | 20,2 | 224,4 | 23,3 | 258,9 | 25,4 | 282,2 | 28,1 | 312,2 | 32,0 | 355,6 |
| 20 | | 11,7 | 97,5 | 14,5 | 120,8 | 16,3 | 135,8 | 18,6 | 155,0 | 22,0 | 183,3 | 25,5 | 212,5 | 27,7 | 230,8 | 30,7 | 255,8 | 34,9 | 290,8 |
| 30 | | 13,1 | 72,8 | 16,3 | 90,6 | 18,3 | 101,7 | 20,9 | 116,1 | 24,7 | 137,2 | 28,5 | 158,3 | 31,1 | 172,8 | 34,4 | 191,1 | 39,2 | 217,8 |
| 45 | | 14,6 | 54,1 | 18,2 | 67,4 | 20,4 | 75,6 | 23,3 | 86,3 | 27,5 | 101,9 | 31,8 | 117,8 | 34,6 | 128,1 | 38,3 | 141,9 | 43,6 | 161,5 |
| 60 | 1 | 15,7 | 43,6 | 19,5 | 54,2 | 21,9 | 60,8 | 25,1 | 69,7 | 29,6 | 82,2 | 34,2 | 95,0 | 37,3 | 103,6 | 41,2 | 114,4 | 47,0 | 130,6 |
| 90 | 1,5 | 17,3 | 32,0 | 21,6 | 40,0 | 24,2 | 44,8 | 27,7 | 51,3 | 32,7 | 60,6 | 37,8 | 70,0 | 41,2 | 76,3 | 45,6 | 84,4 | 51,9 | 96,1 |
| 120 | 2 | 18,6 | 25,8 | 23,2 | 32,2 | 26,0 | 36,1 | 29,7 | 41,3 | 35,1 | 48,8 | 40,6 | 56,4 | 44,2 | 61,4 | 48,9 | 67,9 | 55,7 | 77,4 |
| 180 | 3 | 20,5 | 19,0 | 25,5 | 23,6 | 28,6 | 26,5 | 32,7 | 30,3 | 38,6 | 35,7 | 44,7 | 41,4 | 48,7 | 45,1 | 53,9 | 49,9 | 61,4 | 56,9 |
| 240 | 4 | 21,9 | 15,2 | 27,3 | 19,0 | 30,7 | 21,3 | 35,0 | 24,3 | 41,3 | 28,7 | 47,8 | 33,2 | 52,1 | 36,2 | 57,7 | 40,1 | 65,7 | 45,6 |
| 360 | 6 | 24,1 | 11,2 | 30,0 | 13,9 | 33,7 | 15,6 | 38,5 | 17,8 | 45,5 | 21,1 | 52,6 | 24,4 | 57,3 | 26,5 | 63,4 | 29,4 | 72,2 | 33,4 |
| 540 | 9 | 26,5 | 8,2 | 33,0 | 10,2 | 37,1 | 11,5 | 42,3 | 13,1 | 50,0 | 15,4 | 57,8 | 17,8 | 63,0 | 19,4 | 69,7 | 21,5 | 79,4 | 24,5 |
| 720 | 12 | 28,3 | 6,6 | 35,3 | 8,2 | 39,6 | 9,2 | 45,3 | 10,5 | 53,4 | 12,4 | 61,8 | 14,3 | 67,3 | 15,6 | 74,5 | 17,2 | 84,9 | 19,7 |
| 1080 | 18 | 31,1 | 4,8 | 38,8 | 6,0 | 43,5 | 6,7 | 49,7 | 7,7 | 58,7 | 9,1 | 67,9 | 10,5 | 73,9 | 11,4 | 81,9 | 12,6 | 93,2 | 14,4 |
| 1440 | 24 | 33,3 | 3,9 | 41,4 | 4,8 | 46,5 | 5,4 | 53,1 | 6,1 | 62,7 | 7,3 | 72,6 | 8,4 | 79,0 | 9,1 | 87,5 | 10,1 | 99,6 | 11,5 |
| 2880 | 48 | 39,0 | 2,3 | 48,6 | 2,8 | 54,5 | 3,2 | 62,3 | 3,6 | 73,6 | 4,3 | 85,1 | 4,9 | 92,7 | 5,4 | 102,6 | 5,9 | 116,9 | 6,8 |
| 4320 | 72 | 42,9 | 1,7 | 53,4 | 2,1 | 59,9 | 2,3 | 68,4 | 2,6 | 80,8 | 3,1 | 93,5 | 3,6 | 101,8 | 3,9 | 112,7 | 4,3 | 128,3 | 4,9 |
| 5760 | 96 | 45,8 | 1,3 | 57,0 | 1,6 | 64,0 | 1,9 | 73,1 | 2,1 | 86,3 | 2,5 | 99,9 | 2,9 | 108,7 | 3,1 | 120,4 | 3,5 | 137,1 | 4,0 |
| 7200 | 120 | 48,2 | 1,1 | 60,0 | 1,4 | 67,3 | 1,6 | 77,0 | 1,8 | 90,8 | 2,1 | 105,1 | 2,4 | 114,5 | 2,7 | 126,7 | 2,9 | 144,3 | 3,3 |
| 8640 | 144 | 50,3 | 1,0 | 62,6 | 1,2 | 70,2 | 1,4 | 80,3 | 1,5 | 94,7 | 1,8 | 109,6 | 2,1 | 119,4 | 2,3 | 132,2 | 2,6 | 150,5 | 2,9 |
| 10080 | 168 | 52,1 | 0,9 | 64,9 | 1,1 | 72,8 | 1,2 | 83,2 | 1,4 | 98,1 | 1,6 | 113,6 | 1,9 | 123,7 | 2,0 | 136,9 | 2,3 | 155,9 | 2,6 |

Starkniederschlagshöhen und -spenden gemäß KOSTRA-DWD-2020

Rasterfeld 150153

(Zeile 150, Spalte 153)

Örtliche Unsicherheiten in Abhängigkeit von Wiederkehrzeit T und Dauerstufe D

| Dauerstufe D | | Wiederkehrzeit T | | | | | | | | |
|--------------|-----|------------------|-----|-----|-----|------|------|------|------|-------|
| | | 1 a | 2 a | 3 a | 5 a | 10 a | 20 a | 30 a | 50 a | 100 a |
| min | Std | ± % | ± % | ± % | ± % | ± % | ± % | ± % | ± % | ± % |
| 5 | | 11 | 12 | 12 | 13 | 13 | 14 | 14 | 14 | 15 |
| 10 | | 13 | 15 | 16 | 17 | 18 | 18 | 19 | 19 | 20 |
| 15 | | 15 | 17 | 18 | 19 | 20 | 21 | 21 | 22 | 22 |
| 20 | | 17 | 19 | 19 | 20 | 22 | 22 | 23 | 23 | 24 |
| 30 | | 18 | 20 | 21 | 22 | 23 | 24 | 24 | 25 | 25 |
| 45 | | 18 | 20 | 21 | 22 | 23 | 24 | 25 | 25 | 26 |
| 60 | 1 | 18 | 20 | 21 | 22 | 23 | 24 | 25 | 25 | 26 |
| 90 | 1,5 | 18 | 20 | 21 | 22 | 23 | 24 | 24 | 25 | 26 |
| 120 | 2 | 17 | 19 | 20 | 21 | 22 | 23 | 24 | 24 | 25 |
| 180 | 3 | 16 | 18 | 19 | 20 | 22 | 22 | 23 | 23 | 24 |
| 240 | 4 | 16 | 18 | 19 | 20 | 21 | 22 | 22 | 23 | 23 |
| 360 | 6 | 15 | 17 | 18 | 19 | 20 | 21 | 21 | 22 | 22 |
| 540 | 9 | 14 | 16 | 17 | 18 | 19 | 20 | 20 | 21 | 21 |
| 720 | 12 | 14 | 15 | 16 | 17 | 18 | 19 | 19 | 20 | 20 |
| 1080 | 18 | 13 | 15 | 15 | 16 | 17 | 18 | 18 | 19 | 19 |
| 1440 | 24 | 13 | 14 | 15 | 16 | 17 | 17 | 18 | 18 | 19 |
| 2880 | 48 | 14 | 14 | 15 | 16 | 16 | 17 | 17 | 17 | 18 |
| 4320 | 72 | 15 | 15 | 15 | 16 | 16 | 17 | 17 | 17 | 18 |
| 5760 | 96 | 16 | 16 | 16 | 16 | 17 | 17 | 17 | 17 | 18 |
| 7200 | 120 | 16 | 16 | 16 | 17 | 17 | 17 | 17 | 18 | 18 |
| 8640 | 144 | 17 | 17 | 17 | 17 | 17 | 18 | 18 | 18 | 18 |
| 10080 | 168 | 18 | 17 | 17 | 17 | 18 | 18 | 18 | 18 | 18 |

Parameter für abweichende T und D

Lokationsparameter ξ (Xi)

16,05932552

Skalenparameter α (Alpha)

5,47532754

Formparameter κ (Kappa)

-0,1

1. Koutsoyiannis-Parameter θ (Theta)

0,0297781

2. Koutsoyiannis-Parameter η (Eta)

0,77022551

Parameter für dauerstufenübergreifende Extremwertschätzung nach KOUTSOYIANNIS et al. 1998.

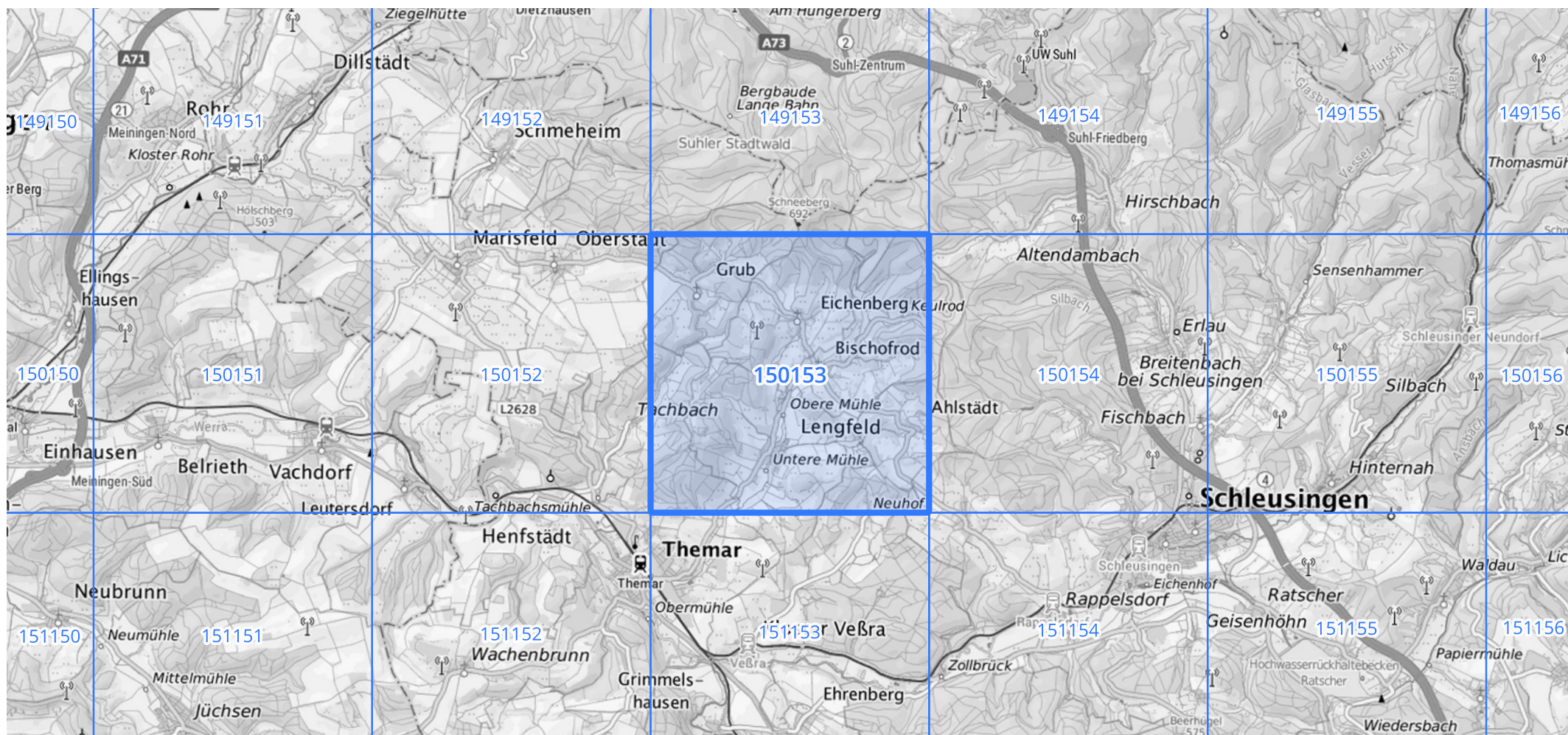
Siehe auch Anwendungshilfe zu KOSTRA-DWD-2020 des Deutschen Wetterdienstes.

Starkniederschlagshöhen und -spenden gemäß KOSTRA-DWD-2020

Rasterfeld 150153

(Zeile 150, Spalte 153)

Übersichtskarte des Rasterfeldes 150153, M 1 : 100 000



Quelle Rasterdaten: KOSTRA-DWD-2020 des Deutschen Wetterdienstes, Stand 12/2022.

Seite 3 von 3

Kartendarstellung: © Bundesamt für Kartographie und Geodäsie (2023), Datenquellen: https://sgx.geodatenzentrum.de/web_public/gdz/datenquellen/Datenquellen_TopPlusOpen.html

Für die Richtigkeit und Aktualität der Angaben wird keine Gewähr übernommen. Erstellt 01/2023.